

ELEMENTOS FINITOS

ELEMENTOS FINITOS Y VIBRACIONES MECÁNICAS



GRADO EN INGENIERÍA MECÁNICA

Índice

1. Introducción
2. Método directo
3. Problemas Unidimensionales
4. Sistemas de Referencia y Funciones de Forma
5. Energía potencial y equilibrio
6. Matriz de rigidez del elemento
7. Términos de Fuerza

Índice

8. Ensamblado de Matrices
9. Condiciones de Contorno
10. Cargas Térmicas
11. Sistemas Articulados Planos
 - ★ Tensiones y Reacciones
 - ★ Cargas Térmicas
12. Sistemas Articulados 3D

Índice

13. Vigas
 - ★ Vector de Carga
 - ★ Esfuerzos Cortantes y Momentos Flectores
14. Pórticos
15. Pórticos 3D
16. Elementos Bidimensionales
17. Vibraciones

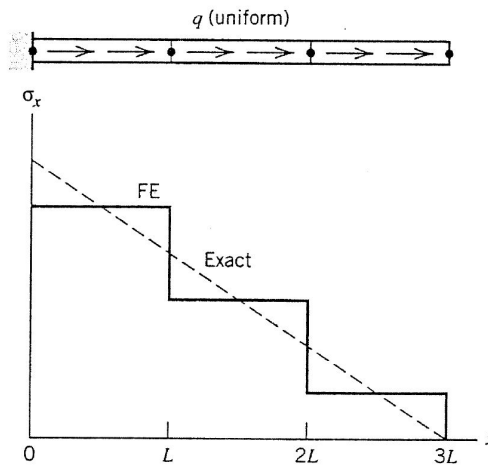
Introducción

- ★ El concepto de EEFB introducido por Turner y colaboradores en 1956
- ★ Base del análisis por EEFB:
 - ▷ Descomposición de un dominio en un número finito de subdominios (Elementos)
 - ▷ Aproximación de una variable de campo, desplazamientos, mediante funciones aproximadas dentro de cada elemento
 - ▷ Los nodos están en límites de cuerpo, o conectando unos elementos con otros.
 - ▷ Un nodo determina las coordenadas en el espacio donde los gdl y las acciones sobre el sistema físico tienen lugar

Introducción

- ★ La esencia del método de los elementos finitos es aproximar los desplazamientos elemento por elemento, utilizando funciones por trozos
- ★ El desplazamiento en el elemento se determina, generalmente mediante polinomios.

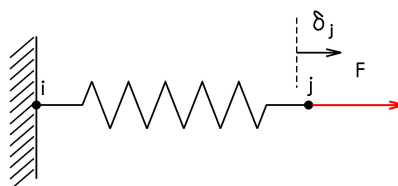
Introducción



Introducción

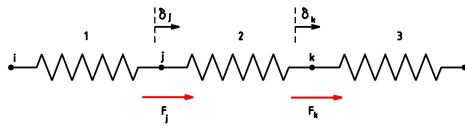
- ★ Método Directo
 - ▷ A partir del comportamiento físico del sistema
- ★ Método Analítico
 - ▷ Utilizando matrices y funciones
 - ▷ Se intenta explicar la “física” del sistema

Método Directo Ecuación de un muelle



$$F = k \cdot \delta_j \quad (1)$$

Método Directo Muelle generalizado



Método Directo Muelle generalizado

En el equilibrio se tiene que $F_j + F_k = 0$ o que $F_k = -F_j$

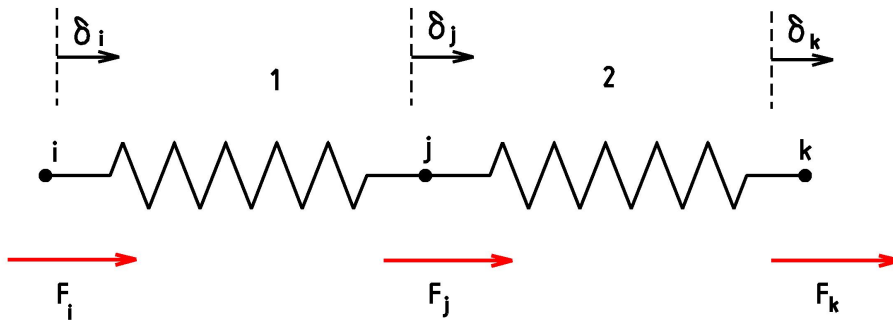
$$\begin{aligned} F_k &= k \cdot (\delta_k - \delta_j) \\ F_j &= k \cdot (\delta_j - \delta_k) \end{aligned} \quad (2)$$

Ordenando los resultados anteriores en forma matricial,

$$\begin{Bmatrix} F_k \\ F_j \end{Bmatrix} = \begin{bmatrix} k & -k \\ -k & k \end{bmatrix} \begin{Bmatrix} \delta_j \\ \delta_k \end{Bmatrix} \quad (3)$$

$$\mathbf{F} = \mathbf{K} \cdot \boldsymbol{\delta} \quad (4)$$

Método Directo Sistemas de muelles



Método Directo Sistemas de muelles

dos constantes diferente, k_1 y k_2

$$F_i + F_j + F_k = 0 \quad (5)$$

$$\begin{aligned} F_i &= k_1 \cdot (\delta_i - \delta_j) \\ F_k &= k_2 \cdot (\delta_k - \delta_j) \end{aligned} \quad (6)$$

$$F_j = -F_i - F_k = k_1 \cdot (\delta_i - \delta_j) - k_2 \cdot (\delta_i - \delta_j) \quad (7)$$

$$F_j = -k_1 \cdot \delta_i + (k_1 + k_2) \cdot \delta_j - k_2 \cdot \delta_k \quad (8)$$

Método Directo Sistemas de muelles

$$\begin{Bmatrix} F_i \\ F_j \\ F_k \end{Bmatrix} = \begin{bmatrix} k_1 & -k_1 & 0 \\ -k_1 & k_1 + k_2 & -k_2 \\ 0 & -k_2 & k_2 \end{bmatrix} \begin{Bmatrix} \delta_i \\ \delta_j \\ \delta_k \end{Bmatrix} \quad (9)$$

$$\mathbf{F} = \mathbf{k} \cdot \boldsymbol{\delta} \quad (10)$$

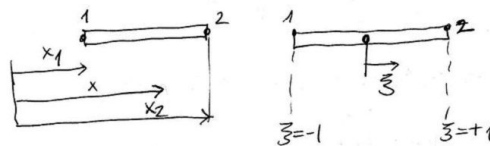
donde \mathbf{k} es la matriz de rigidez **Problemas Unidimensionales. Introducción**

- ★ Utilización de la energía potencial total, relaciones esfuerzos-deformación unitaria.
- ★ El procedimiento es es mismo para 1D, 2D y 3D
- ★ Los vectores \mathbf{u} , $\boldsymbol{\sigma}$, $\boldsymbol{\epsilon}$, \mathbf{T} y \mathbf{f} dependen de la posición x
- ★ Las relaciones entre deformación unitaria y esfuerzo son: $\boldsymbol{\sigma} = E\boldsymbol{\epsilon}$ y $\boldsymbol{\epsilon} = \frac{du}{dx}$

Introducción

- ★ Fuerzas
 - ▷ $\mathbf{f} \equiv$ fuerza por unidad de volumen. Peso propio
 - ▷ $\mathbf{T} \equiv$ fuerza por unidad de superficie. 1D Fuerza por unidad de longitud. Resistencia por fricción.
 - ▷ $P_i \equiv$ fuerza puntual
- ★ La idea básica es discretizar y expresar el campo de desplazamientos en términos de valores en puntos discretos.

Coordenadas y Funciones de Forma

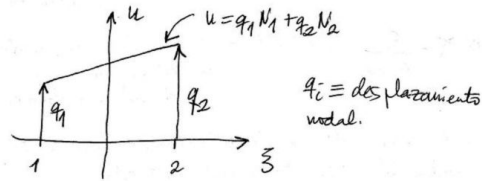


- ★ Sistema Natura o Intrínseco

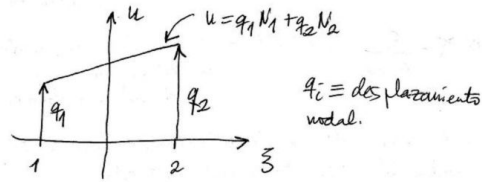
$$\xi = \frac{2}{x_2 - x_1} (x - x_1) - 1 \quad (11)$$

Coordenadas y Funciones de Forma

- ★ El campo de desplazamiento desconocido dentro de un elemento será interpolado por una distribución lineal
- ★ La aproximación es más exacta cuanto más pequeño sea el tamaño del elemento
- ★ La interpolación lineal se realiza utilizando las siguientes ecuaciones.



Coordenadas y Funciones de Forma



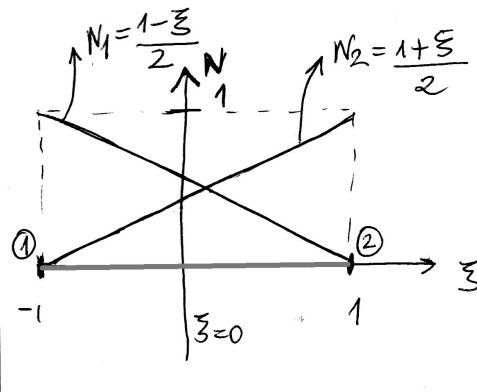
$$N_1(\xi) = \frac{1 - \xi}{2} \quad (12)$$

$$N_2(\xi) = \frac{1 + \xi}{2} \quad (13)$$

$$u = N_1 q_1 + N_2 q_2 \quad (14)$$

Coordenadas y Funciones de Forma

★ Las funciones de forma tienen comportamiento lineal



Coordenadas y Funciones de Forma

★ Forma vectorial de la función de forma.

$$u = N_1 q_1 + N_2 q_2 \quad (15)$$

$$u = \mathbf{N} \mathbf{q} \quad (16)$$

$$\mathbf{N} = [N_1 \quad N_2] \quad (17)$$

$$\mathbf{q} = [q_1 \quad q_2]^T \quad (18)$$

★ $\mathbf{q} \equiv$ Vector de desplazamientos del elemento

Coordenadas y Funciones de Forma

★ Las coordenadas en x se han interpolado dentro del elemento utilizando las mismas funciones de forma.

★ Formulación Isoparamétrica

- ▷ Cuando los desplazamientos u y las coordenadas x son interpoladas usando las mismas funciones de forma N_1 y N_2

$$x = N_1x_1 + N_2x_2 \quad (19)$$

$$u = N_1q_1 + N_2q_2 \quad (20)$$

Coordenadas y Funciones de Forma

★ En general las funciones de forma deben satisfacer:

- ▷ Las primeras derivadas deben ser finitas dentro del elemento
- ▷ Los desplazamientos deben ser continuos a través de la frontera del elemento

Ecuación deformación unitaria

$$\epsilon = \frac{du}{dx} = \frac{du}{d\xi} \frac{d\xi}{dx} \quad (21)$$

$$\frac{d\xi}{dx} = \frac{2}{x_2 - x_1} \quad (22)$$

$$u = \mathbf{Nq} = \frac{1-\xi}{2}q_1 + \frac{1+\xi}{2}q_2 \quad (23)$$

$$\frac{du}{d\xi} = \frac{-q_1 + q_2}{2} \quad (24)$$

$$\epsilon = \frac{-q_1 + q_2}{x_2 - x_1} \quad (25)$$

$$\epsilon = \mathbf{Bq} \quad (26)$$

Coordenadas y Funciones de Forma. Ley de Hooke

$$\epsilon = \mathbf{Bq} \quad (27)$$

$$\mathbf{B} = \frac{\begin{bmatrix} -1 & 1 \end{bmatrix}}{x_2 - x_1} \quad (28)$$

★ Ley de Hooke

$$\sigma = E\mathbf{Bq} \quad (29)$$

Coordenadas y Funciones de Forma. Resumen

★ Relaciones de las coordenadas, los desplazamientos, los desplazamientos unitarios y las tensiones, en función de los valores nodales

$$u = \mathbf{Nq} \quad (30)$$

$$\epsilon = \mathbf{Bq} \quad (31)$$

$$\sigma = E\mathbf{Bq} \quad (32)$$

Energía potencial y equilibrio

- ★ En sólidos se busca la relación entre los desplazamientos \mathbf{u} que satisfaga las condiciones de equilibrio.
- ★ La solución exacta es compleja de obtener
- ★ Utilización de métodos aproximados

- ▷ Energía potencial
- ▷ Método de Rayleigh-Ritz
- ▷ Método de Garlekin

Energía potencial y equilibrio

- ★ En sólidos se busca la relación entre los desplazamientos \mathbf{u} que satisfaga las condiciones de equilibrio.
- ★ La solución exacta es compleja de obtener
- ★ Utilización de métodos aproximados
 - ▷ **Energía potencial**
 - ▷ Método de Rayleigh-Ritz
 - ▷ Método de Garlekin

Energía potencial y equilibrio

- ★ La **energía potencial** de un cuerpo elástico se define como la suma de la energía de deformación unitaria total (U) más el potencial de trabajo (WP)

$$\Pi = U + WP \quad (33)$$

- ★ Materiales lineales elásticos

$$U = \frac{1}{2} \int_V \boldsymbol{\sigma}^T \boldsymbol{\epsilon} dV \quad (34)$$

Energía potencial y equilibrio

$$WP = - \int_V \mathbf{u}^T \mathbf{f} dV - \int_S \mathbf{u}^T \mathbf{T} dS - \sum_i \mathbf{u}_i^T \mathbf{P}_i \quad (35)$$

- ★ Energía Potencial para un cuerpo elástico

$$\Pi = \frac{1}{2} \int_V \boldsymbol{\sigma}^T \boldsymbol{\epsilon} dV - \int_V \mathbf{u}^T \mathbf{f} dV - \int_S \mathbf{u}^T \mathbf{T} dS - \sum_i \mathbf{u}_i^T \mathbf{P}_i \quad (36)$$

Energía potencial y equilibrio

- ★ Se supone que es un sistema conservativo
- ★ Principio de la energía potencial
 - ▷ En sistemas conservativos, la energía potencial tiene un mínimo en aquellos desplazamientos cinemáticamente admisibles que se corresponden con las condiciones de equilibrio.
 - ▷ Si es mínimo \Rightarrow el estado de equilibrio es estable.

Energía potencial y equilibrio

- ★ Energía Potencial 1D

$$\Pi = \frac{1}{2} \int_L \boldsymbol{\sigma}^T \boldsymbol{\epsilon} A dx - \int_L u^T f A dx - \int_L u^T T dx - \sum_i u_i P_i \quad (37)$$

- ★ Como el modelo se ha dividido en elementos finitos, la energía quedaría

$$\Pi = \sum_e \frac{1}{2} \int_e \boldsymbol{\sigma}^T \boldsymbol{\epsilon} A dx - \sum_e \int_e u^T f A dx - \sum_e \int_e u^T T dx - \sum_i Q_i P_i \quad (38)$$

★ En el término de las cargas puntuales se supone que se aplican sobre los nodos

Matriz de rigidez del elemento

★ Partiendo de la energía de deformación unitaria

$$U_e = \frac{1}{2} \int_e \boldsymbol{\sigma}^T \boldsymbol{\epsilon} A dx \quad (39)$$

$$u = \mathbf{N} \mathbf{q} \quad (40)$$

$$\boldsymbol{\epsilon} = \mathbf{B} \mathbf{q} \quad (41)$$

$$\boldsymbol{\sigma} = E \mathbf{B} \mathbf{q} \quad (42)$$

Matriz de rigidez del elemento

$$U_e = \frac{1}{2} \int_e \mathbf{q}^T \mathbf{B}^T E \mathbf{B} \mathbf{q} A dx \quad (43)$$

$$= \frac{1}{2} \mathbf{q}^T \int_e [\mathbf{B}^T E \mathbf{B} A dx] \mathbf{q}$$

$$\xi = \frac{2}{x_2 - x_1} (x - x_1) - 1 \quad (44)$$

$$\frac{d\xi}{dx} = \frac{2}{x_2 - x_1} \quad (45)$$

$$dx = \frac{x_2 - x_1}{2} d\xi = \frac{l_e}{2} d\xi \quad (46)$$

$$\xi \in [1, -1] \quad ; \quad l_e = |x_2 - x_1| \quad (47)$$

Matriz de rigidez del elemento

★ \mathbf{B} es una matriz constante

$$U_e = \frac{1}{2} \mathbf{q}^T \left[A_e \frac{l_e}{2} E_e \mathbf{B}^T \mathbf{B} \int_{-1}^1 d\xi \right] \mathbf{q} \quad (48)$$

$$\mathbf{B} = \frac{\begin{bmatrix} -1 & 1 \end{bmatrix}}{x_2 - x_1} \quad (49)$$

$$U_e = \frac{1}{2} \mathbf{q}^T A_e l_e E_e \frac{1}{l_e^2} \begin{bmatrix} -1 \\ 1 \end{bmatrix} \begin{bmatrix} -1 & 1 \end{bmatrix} \mathbf{q} \quad (50)$$

$$= \frac{1}{2} \mathbf{q}^T \frac{A_e E_e}{l_e} \begin{bmatrix} 1 & -1 \\ -1 & 1 \end{bmatrix} \mathbf{q} \quad (51)$$

Matriz de rigidez del elemento

$$U_e = \frac{1}{2} \mathbf{q}^T \mathbf{k}^e \mathbf{q} \quad (52)$$

★ Matriz de rigidez \mathbf{k}^e del elemento

$$\mathbf{k}^e = \frac{E_e A_e}{l_e} \begin{bmatrix} 1 & -1 \\ -1 & 1 \end{bmatrix} \quad (53)$$

★ Ecuación 52 muy parecida a la energía unitaria de un resorte simple

$$U = \frac{1}{2}kQ^2 \quad (54)$$

Términos de fuerza

★ Fuerzas en el cuerpo

$$\int_e u^T f A dx = A_e f \int_e (N_1 q_1 + N_2 q_2) dx \quad (55)$$

$$\int_e u^T f A dx = \mathbf{q}^T \begin{bmatrix} A_e f \int_e N_1 dx \\ A_e f \int_e N_2 dx \end{bmatrix} \quad (56)$$

$$dx = \frac{l_e}{2} d\xi \quad (57)$$

Términos de fuerza

★ Evaluando las integrales

$$\int_e N_1 dx = \frac{l_e}{2} \int_{-1}^1 \frac{1-\xi}{2} d\xi = \frac{l_e}{2} \quad (58)$$

$$\int_e N_2 dx = \frac{l_e}{2} \int_{-1}^1 \frac{1+\xi}{2} d\xi = \frac{l_e}{2} \quad (59)$$

★ Término de fuerzas

$$\int_e u^T f A dx = \mathbf{q}^T \frac{A_e l_e}{2} f \begin{bmatrix} 1 \\ 1 \end{bmatrix} \quad (60)$$

Términos de fuerza

★ Término de fuerzas

$$\int_e u^T f A dx = \mathbf{q}^T \frac{A_e l_e}{2} f \begin{bmatrix} 1 \\ 1 \end{bmatrix} = \mathbf{q}^T \mathbf{f}^e \quad (61)$$

$$\mathbf{f}^e = \frac{A_e l_e f}{2} \begin{bmatrix} 1 \\ 1 \end{bmatrix} \quad (62)$$

★ $A_e l_e \equiv$ volumen del elemento

★ $f \equiv$ fuerza por unidad de volumen

★ La ecuación 62 se divide la fuerza en los dos nodos

Términos de fuerza

★ Fuerzas de tracción. T es constante dentro del elemento.

$$\int_e u^T T dx = \int_e (N_1 q_1 + N_2 q_2) T dx \quad (63)$$

$$\int_e u^T T dx = \mathbf{q}^T \begin{bmatrix} T \int_e N_1 dx \\ T \int_e N_2 dx \end{bmatrix} \quad (64)$$

$$\int_e u^T T dx = \mathbf{q}^T \mathbf{T}^e \quad (65)$$

$$\mathbf{T}^e = \frac{T l_e}{2} \begin{bmatrix} 1 \\ 1 \end{bmatrix} \quad (66)$$

Términos de fuerza

★ La energía potencial total

$$\Pi = \frac{1}{2} \mathbf{Q}^T \mathbf{K} \mathbf{Q} - \mathbf{Q}^T \mathbf{F} \quad (67)$$

★ $\mathbf{K} \equiv$ Matriz de rigidez global

★ $\mathbf{F} \equiv$ Vector de carga total

★ $\mathbf{Q} \equiv$ Vector de desplazamientos totales

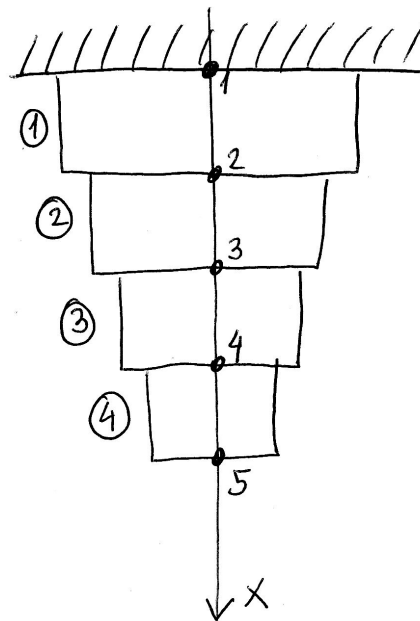
Ensamblado de las matrices \mathbf{K} y \mathbf{F}

★ Energía potencial total

$$\Pi = \sum_e \frac{1}{2} \mathbf{q}^T \mathbf{k}^e \mathbf{q} - \sum_e \mathbf{q}^T \mathbf{f}^e - \sum_e \mathbf{q}^T \mathbf{T}^e - \sum_i P_i Q_i \quad (68)$$

$$\Pi = \frac{1}{2} \mathbf{Q}^T \mathbf{K} \mathbf{Q} - \mathbf{Q}^T \mathbf{F} \quad (69)$$

Ensamblado de las matrices \mathbf{K} y \mathbf{F}



Ensamblado de las matrices \mathbf{K} y \mathbf{F}

★ Elemento 3

$$U_3 = \frac{1}{2} \mathbf{q}^T \mathbf{k}^3 \mathbf{q} \quad (70)$$

$$U_3 = \frac{1}{2} \mathbf{q}^T \frac{E_3 A_3}{l_3} \cdot \begin{bmatrix} 1 & -1 \\ -1 & 1 \end{bmatrix} \quad (71)$$

$$\mathbf{q} = [Q_3 \quad Q_4] \quad (72)$$

Ensamblado de las matrices \mathbf{K} y \mathbf{F}

★ Elemento 3

$$U_3 = \frac{1}{2} \mathbf{q}^T \mathbf{k}^3 \mathbf{q} \quad (70)$$

$$U_3 = \frac{1}{2} \mathbf{q}^T \frac{E_3 A_3}{l_3} \cdot \begin{array}{|c|} \hline 3 \\ \hline 4 \\ \hline \end{array} \begin{bmatrix} \begin{array}{|c|} \hline 3 \\ \hline \end{array} & \begin{array}{|c|} \hline 4 \\ \hline \end{array} \\ \hline 1 & -1 \\ \hline -1 & 1 \end{bmatrix} \quad (71)$$

$$\mathbf{q} = [Q_3 \quad Q_4] \quad (72)$$

Ensamblado de las matrices K y F

$$U_3 = \frac{1}{2} \mathbf{Q}^T \begin{bmatrix} 0 & 0 & 0 & 0 & 0 \\ 0 & 0 & 0 & 0 & 0 \\ 0 & 0 & \frac{E_3 A_3}{l_3} & -\frac{E_3 A_3}{l_3} & 0 \\ 0 & 0 & -\frac{E_3 A_3}{l_3} & \frac{E_3 A_3}{l_3} & 0 \\ 0 & 0 & 0 & 0 & 0 \end{bmatrix} \mathbf{Q} \quad (73)$$

$$\mathbf{Q} = [Q_1 \quad Q_2 \quad Q_3 \quad Q_4 \quad Q_5]^T \quad (74)$$

$$\mathbf{K} = \sum_e \mathbf{K}^e \quad (75)$$

Ensamblado de las matrices K y F

$$U_3 = \frac{1}{2} \mathbf{Q}^T \begin{array}{|c|} \hline 1 \\ \hline 2 \\ \hline 3 \\ \hline 4 \\ \hline 5 \\ \hline \end{array} \begin{bmatrix} \begin{array}{|c|} \hline 1 \\ \hline \end{array} & \begin{array}{|c|} \hline 2 \\ \hline \end{array} & \begin{array}{|c|} \hline 3 \\ \hline \end{array} & \begin{array}{|c|} \hline 4 \\ \hline \end{array} & \begin{array}{|c|} \hline 5 \\ \hline \end{array} \\ \hline 0 & 0 & 0 & 0 & 0 \\ 0 & 0 & 0 & 0 & 0 \\ 0 & 0 & \frac{E_3 A_3}{l_3} & -\frac{E_3 A_3}{l_3} & 0 \\ 0 & 0 & -\frac{E_3 A_3}{l_3} & \frac{E_3 A_3}{l_3} & 0 \\ 0 & 0 & 0 & 0 & 0 \end{bmatrix} \mathbf{Q} \quad (73)$$

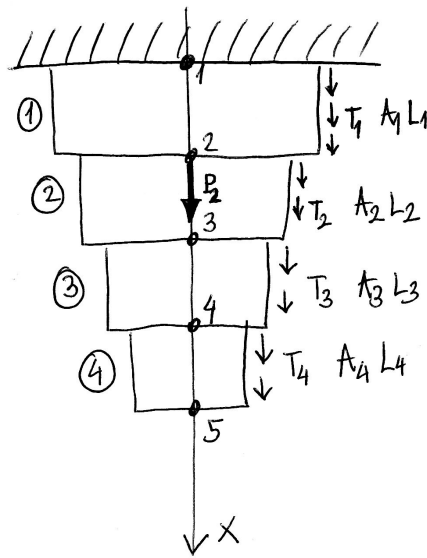
$$\mathbf{Q} = [Q_1 \quad Q_2 \quad Q_3 \quad Q_4 \quad Q_5]^T \quad (74)$$

$$\mathbf{K} = \sum_e \mathbf{K}^e \quad (75)$$

Ensamblado de las matrices K y F

$$\mathbf{K} = \frac{A_1 E}{l_1} \begin{bmatrix} 1 & -1 & 0 & 0 & 0 \\ -1 & 1 & 0 & 0 & 0 \\ 0 & 0 & 0 & 0 & 0 \\ 0 & 0 & 0 & 0 & 0 \\ 0 & 0 & 0 & 0 & 0 \end{bmatrix} + \frac{A_2 E}{l_2} \begin{bmatrix} 0 & 0 & 0 & 0 & 0 \\ 0 & 1 & -1 & 0 & 0 \\ 0 & -1 & 1 & 0 & 0 \\ 0 & 0 & 0 & 0 & 0 \\ 0 & 0 & 0 & 0 & 0 \end{bmatrix} + \frac{A_3 E}{l_3} \begin{bmatrix} 0 & 0 & 0 & 0 & 0 \\ 0 & 0 & 0 & 0 & 0 \\ 0 & 0 & 1 & -1 & 0 \\ 0 & 0 & -1 & 1 & 0 \\ 0 & 0 & 0 & 0 & 0 \end{bmatrix} + \frac{A_4 E}{l_4} \begin{bmatrix} 0 & 0 & 0 & 0 & 0 \\ 0 & 0 & 0 & 0 & 0 \\ 0 & 0 & 0 & 0 & 0 \\ 0 & 0 & 0 & 1 & -1 \\ 0 & 0 & 0 & -1 & 1 \end{bmatrix} \quad (76)$$

Ensamblado de las matrices K y F



Ensamblado de las matrices \mathbf{K} y \mathbf{F}

$$\mathbf{F} = \sum_e \mathbf{f}^e \quad (77)$$

$$\mathbf{F} = \begin{bmatrix} \left(\frac{A_1 l_1 f}{2} + \frac{l_1 T_1}{2} \right) + \left(\frac{A_2 l_2 f}{2} + \frac{l_2 T_2}{2} \right) \\ \left(\frac{A_2 l_2 f}{2} + \frac{l_2 T_2}{2} \right) + \left(\frac{A_3 l_3 f}{2} + \frac{l_3 T_3}{2} \right) \\ \left(\frac{A_3 l_3 f}{2} + \frac{l_3 T_3}{2} \right) + \left(\frac{A_4 l_4 f}{2} + \frac{l_4 T_4}{2} \right) \\ \left(\frac{A_4 l_4 f}{2} + \frac{l_4 T_4}{2} \right) \end{bmatrix} + \begin{bmatrix} 0 \\ P_2 \\ 0 \\ 0 \end{bmatrix} \quad (78)$$

Propiedades de \mathbf{K}

- ★ La dimensión de \mathbf{K} es (Número Nodos x Número Nodos)
- ★ Es simétrica

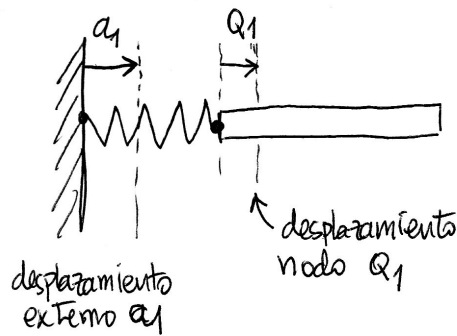
Condiciones de Contorno

- ★ En sistemas conservativos, la energía potencial tiene un mínimo en aquellos desplazamientos cinemáticamente admisibles que se corresponden con las condiciones de equilibrio.
- ★ Las ecuaciones de equilibrio se obtienen minimizando la Energía Potencial, con respecto a \mathbf{Q}
- ★ Las condiciones de contorno son usualmente del tipo: $Q_{p1} = a_1, Q_{p2} = a_2, \dots$
- ★ Q_{p1} desplazamiento en el grado de libertad p_1

Método de la penalización

- ★ Método para la resolución del sistema
 - ▷ Obtención de desplazamientos, reacciones, tensiones, ...
- ★ Se considera $Q_1 = a_1$
- ★ Sobre el soporte se supone aplicado un resorte de gran rigidez, C .
- ★ Energía unitaria del resorte $U_s = \frac{1}{2} C (Q_1 - a_1)^2$

Método de la penalización



$$U_{\text{resorte}} = \frac{1}{2} C (Q_1 - a_1)^2$$

Método de la penalización

- ★ Energía Potencial

$$\Pi = \frac{1}{2} \mathbf{Q}^T \mathbf{K} \mathbf{Q} + \frac{1}{2} C (Q_1 - a_1)^2 - \mathbf{Q}^T \mathbf{F} \quad (79)$$

$$\frac{\partial \Pi}{\partial Q_i} = 0 \quad (80)$$

$$i = 1, \dots, N \quad (81)$$

$$\begin{bmatrix} k_{11} + C & \cdots & k_{1N} \\ \vdots & \ddots & \vdots \\ k_{N1} & \cdots & k_{NN} \end{bmatrix} \begin{bmatrix} Q_1 \\ \vdots \\ Q_N \end{bmatrix} = \begin{bmatrix} F_1 + C a_1 \\ \vdots \\ F_N \end{bmatrix} \quad (82)$$

Método de la penalización

- ★ Enfoque aproximado, depende de las fuerzas de reacción y la elección del valor de C.
- ★ Desarrollando la 1ª ecuación de 82

$$(k_{11} + C) Q_1 + \cdots + k_{1N} Q_N = F_1 + C a_1 \quad (83)$$

$$\left(\frac{k_{11}}{C} + 1 \right) Q_1 + \cdots + \frac{k_{1N}}{C} Q_N = \frac{F_1}{C} + a_1 \quad (84)$$

- ★ Si C lo suficientemente grande $Q_1 \approx a_1$

$$C = \max |k_{ij}| \times 10^5 \quad (10^6, 10^7) \quad (85)$$

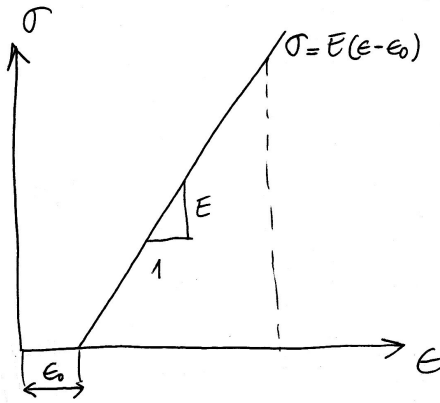
Cargas Térmicas

- ★ Cambio de temperatura en un material isotrópico lineal.
- ★ Problema de esfuerzos térmicos
- ★ Conocido $\Delta T(x)$

$$\epsilon_0 = \alpha \Delta T \quad (86)$$

Cargas Térmicas

★ Teniendo en cuenta las cargas estructurales y térmicas



Cargas Térmicas

$$\sigma = E(\epsilon - \epsilon_0) \quad (87)$$

$$u_0 = \frac{1}{2} \sigma (\epsilon - \epsilon_0) \quad (88)$$

$$u_0 = \frac{1}{2} (\epsilon - \epsilon_0)^T E (\epsilon - \epsilon_0) \quad (89)$$

★ Integrando sobre el volumen de la estructura se obtiene la energía

$$U = \int_L \frac{1}{2} (\epsilon - \epsilon_0)^T E (\epsilon - \epsilon_0) A dx \quad (90)$$

Cargas Térmicas

★ Para un elemento unidimensional

★ Cambiando a coordenadas naturales

$$U = \sum_e \frac{1}{2} A_e \frac{l_e}{2} \int_{-1}^1 (\epsilon - \epsilon_0)^T E (\epsilon - \epsilon_0) d\xi \quad (91)$$

$$\epsilon = \mathbf{B}\mathbf{q} \quad (92)$$

$$U = \sum_e \frac{1}{2} \mathbf{q}^T \left(E_e A_e \frac{l_e}{2} \int_{-1}^1 \mathbf{B}^T \mathbf{B} d\xi \right) \mathbf{q} - \sum \mathbf{q}^T E_e A_e \frac{l_e}{2} \epsilon_0 \int_{-1}^1 \mathbf{B}^T d\xi + \sum_e \frac{1}{2} E_e A_e \frac{l_e}{2} \epsilon_0^2 \quad (93)$$

Cargas Térmicas

★ El primer término energía calculada para elemento 1D, determinación de la matriz de rigidez del elemento

★ El último término es constante, se cancela en la obtención de las ecuaciones de equilibrio.

★ El segundo término da la carga térmico Θ^e

$$\Theta^e = E_e A_e \frac{l_e}{2} \epsilon_0 \int_{-1}^1 \mathbf{B}^T d\xi \quad (94)$$

Cargas Térmicas

$$\mathbf{B} = \frac{\begin{bmatrix} -1 & 1 \end{bmatrix}}{x_2 - x_1} \quad (95)$$

$$\Theta^e = \frac{E_e A_e l_e \alpha \Delta T}{x_2 - x_1} \begin{bmatrix} -1 \\ 1 \end{bmatrix} \quad (96)$$

★ ΔT promedio de temperatura dentro del elemento

★ Θ^e se ensambla dentro del vector de fuerzas

$$\mathbf{F} = \sum_e (\mathbf{f}^e + \mathbf{T}^e + \Theta^e) + \mathbf{P} \quad (97)$$

Cargas Térmicas

★ Una vez resuelta $\mathbf{F} = \mathbf{KQ}$ en \mathbf{Q}

★ El esfuerzo se obtiene utilizando la siguiente ecuación

$$\sigma = E (\mathbf{B}\mathbf{q} - \alpha\Delta T) \quad (98)$$

$$\sigma = \frac{E}{x_2 - x_1} \begin{bmatrix} -1 & 1 \end{bmatrix} \mathbf{q} - E\alpha\Delta T \quad (99)$$

Sistemas Articulado Planos

★ Las barras de los sistemas articulados tienen diferentes orientaciones

★ Sistemas de Coordenadas Local x'

▷ Cada nodo 1 gdl

★ Sistema de Coordenadas Global xyz

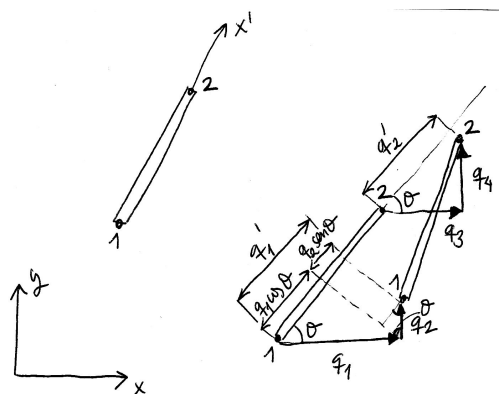
▷ Cada nodo 2 gdl

★ Numeración Sistemática

▷ Nodo j

▷ Tiene 2 gdl: Q_{2j-1} en x ; Q_{2j} en y ;

Sistemas Articulado Planos



Sistemas Articulado Planos

★ Sistema Local

$$\mathbf{q}' = \begin{bmatrix} q'_1 & q'_2 \end{bmatrix}^T \quad (100)$$

★ Sistema global

$$\mathbf{q} = [q_1 \quad q_2 \quad q_3 \quad q_4]^T \quad (101)$$

$$q'_1 = q_1 \cos \theta + q_2 \sin \theta \quad (102)$$

$$q'_2 = q_3 \cos \theta + q_4 \sin \theta \quad (103)$$

Sistemas Articulados Planos

★ Utilizando los cosenos directores

$$l = \cos \theta = \frac{x_2 - x_1}{l_e} \quad (104)$$

$$m = \cos \phi = \sin \theta = \frac{y_2 - y_1}{l_e} \quad (105)$$

$$l_e = \sqrt{(x_2 - x_1)^2 + (y_2 - y_1)^2} \quad (106)$$

$$\mathbf{q}' = \mathbf{L}\mathbf{q} \quad (107)$$

$$\mathbf{L} = \begin{bmatrix} l & m & 0 & 0 \\ 0 & 0 & l & m \end{bmatrix} \quad (108)$$

Sistemas Articulados Planos. Matriz de rigidez

★ Es un elemento 1D en el sistema local

$$\mathbf{k}' = \frac{E_e A_e}{l_e} \begin{bmatrix} 1 & -1 \\ -1 & 1 \end{bmatrix} \quad (109)$$

$$U_e = \frac{1}{2} \mathbf{q}'^T \mathbf{k}' \mathbf{q}' \quad (110)$$

$$\mathbf{q}' = \mathbf{L}\mathbf{q} \quad (111)$$

$$U_e = \frac{1}{2} \mathbf{q}^T (\mathbf{L}^T \mathbf{k}' \mathbf{L}) \mathbf{q} \quad (112)$$

$$k = \mathbf{L}^T \mathbf{k}' \mathbf{L} \quad (113)$$

Tensiones y Reacciones

★ Determinación de las tensiones y las reacciones en los elementos

$$\sigma = E_e \epsilon \quad (114)$$

$$\sigma = \frac{E_e}{l_e} \begin{bmatrix} -1 & 1 \end{bmatrix} \begin{bmatrix} q'_1 \\ q'_2 \end{bmatrix} \quad (115)$$

$$\mathbf{q}' = \mathbf{L}\mathbf{q} \quad (116)$$

$$\sigma = E_e \mathbf{B}\mathbf{L}\mathbf{q} \quad (117)$$

$$(\mathbf{R} + \mathbf{F}) = \mathbf{K}\mathbf{Q} \quad (118)$$

$$\mathbf{R} = \mathbf{K}\mathbf{Q} - \mathbf{F} \quad (119)$$

Sistemas Articulados Planos. Cargas Térmicas

★ Cambio de sistema de referencia

★ ϵ_0 por temperatura, o bien por la introducción de algún elemento más largo o más corte, por error de fabricación

$$\Theta' = E_e A_e l_e \epsilon_0 \mathbf{B} \quad (120)$$

$$\epsilon = \alpha \Delta T \quad (121)$$

Sistemas Articulados Planos. Cargas Térmicas

★ La energía potencial es la misma en ambos sistemas de referencia

$$\mathbf{q}^T \boldsymbol{\Theta} = \mathbf{q}'^T \boldsymbol{\Theta}' \quad (122)$$

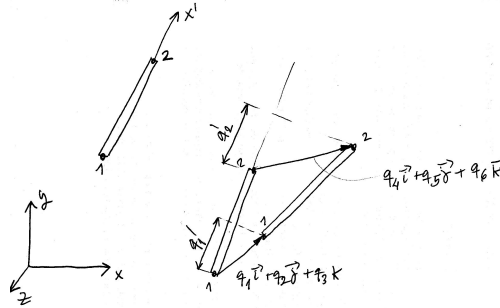
$$\mathbf{q}^T \boldsymbol{\Theta} = \mathbf{q}^T \mathbf{L}^T \boldsymbol{\Theta}' \quad (123)$$

$$\boldsymbol{\Theta} = \mathbf{L}^T \boldsymbol{\Theta}' \quad (124)$$

$$\boldsymbol{\sigma} = E(\boldsymbol{\epsilon} - \boldsymbol{\epsilon}_0) \quad (125)$$

★ Se sigue el mismo procedimiento de resolución

Sistemas Articulados 3D



Sistemas Articulados 3D

★ Cambio de sistema de referencia

$$\mathbf{q}' = [q'_1 \quad q'_2]^T \quad (126)$$

$$\mathbf{q} = [q_1 \quad q_2 \quad q_3 \quad q_4 \quad q_5 \quad q_6]^T \quad (127)$$

$$\mathbf{q}' = \mathbf{L} \mathbf{q} \quad (128)$$

$$\mathbf{L} = \begin{bmatrix} l & m & n & 0 & 0 & 0 \\ 0 & 0 & 0 & l & m & n \end{bmatrix} \quad (129)$$

Sistemas Articulados 3D

★ Cambio de sistema de referencia

$$l = \frac{x_2 - x_1}{l_e} \quad (130)$$

$$m = \frac{y_2 - y_1}{l_e} \quad (131)$$

$$n = \frac{z_2 - z_1}{l_e} \quad (132)$$

$$l_e = \sqrt{(x_2 - x_1)^2 + (y_2 - y_1)^2 + (z_2 - z_1)^2} \quad (133)$$

Vigas

★ Vigas con sección transversal simétrica con respecto al plano de carga.

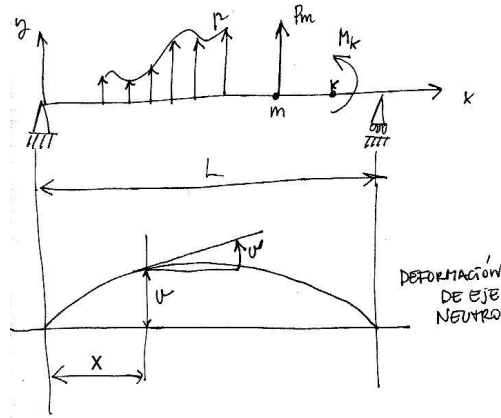
★ Para deflexiones pequeñas se puede utilizar la teoría elemental de vigas

$$\sigma = -\frac{M}{I} y \quad (134)$$

$$\epsilon = \frac{\sigma}{E} \quad (135)$$

$$\frac{d^2 v}{dx^2} = \frac{M}{EI} \quad (136)$$

Vigas



Vigas

- ★ Utilizando el método de la energía potencial
- ★ La energía de deformación unitaria dU para un elemento de longitud dx
- ★ v es la deflexión del eje centroidal en la posición x

Vigas

$$dU = \frac{1}{2} \int_A \sigma \epsilon dA dx \quad (137)$$

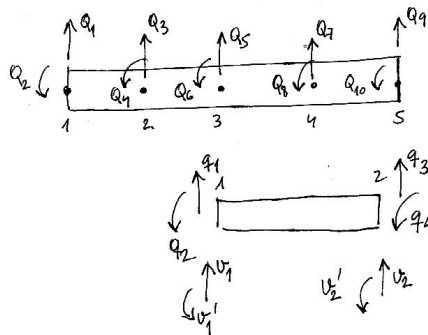
$$= \frac{1}{2} \left(\frac{M^2}{EI^2} \int_A y^2 dA \right) \quad (138)$$

$$dU = \frac{1}{2} \frac{M^2}{EI} dx \quad (139)$$

$$U_{viga} = \frac{1}{2} \int_0^L EI \left(\frac{d^2v}{dx^2} \right)^2 dx \quad (140)$$

$$\Pi = \frac{1}{2} \int_0^L EI \left(\frac{d^2v}{dx^2} \right)^2 - \int_0^L p v dx - \sum_m P_m v_m - \sum_k M_k v'_k$$

Formulación del Elemento Finito



Formulación del Elemento Finito

- ★ Las funciones de forma son diferentes a lo anteriormente estudiado, están relacionados valores nodales y pendientes
- ★ Funciones de forma de Hermite

Formulación del Elemento Finito

$$H_i = a_i + b_i\xi + c_i\xi^2 + d_i\xi^3 \quad (141)$$

$$H_1 = \frac{1}{4}(2 - 3\xi + \xi^3) \quad (142)$$

$$H_2 = \frac{1}{4}(1 - \xi - \xi^2 + \xi^3) \quad (143)$$

$$H_3 = \frac{1}{4}(2 + 3\xi - \xi^3) \quad (144)$$

$$H_4 = \frac{1}{4}(-1 - \xi + \xi^2 + \xi^3) \quad (145)$$

Formulación del Elemento Finito

★ Las funciones de Hermite sirven para expresar v como

$$v(\xi) = H_1v_1 + H_2\left(\frac{dv}{d\xi}\right) + H_3v_2 + H_4\left(\frac{dv}{d\xi}\right) \quad (146)$$

$$x = \frac{x_1 + x_2}{2} + \frac{x_2 - x_1}{2}\xi \quad (147)$$

$$l_e = x_2 - x_1 \quad (148)$$

$$\frac{dv}{d\xi} = \frac{dv}{dx} \frac{dx}{d\xi} = \frac{l_e}{2} \frac{dv}{dx} \quad (149)$$

$$v(\xi) = H_1q_1 + \frac{l_e}{2}H_2q_2 + H_3q_3 + \frac{l_e}{2}H_4q_4 \quad (150)$$

Formulación del Elemento Finito

$$v = \mathbf{H}\mathbf{q} \quad (151)$$

$$\mathbf{H} = \left[H_1, \frac{l_e}{2}H_2, H_3, \frac{l_e}{2}H_4 \right] \quad (152)$$

★ La energía de deformación unitaria del elemento está dada por

Formulación del Elemento Finito

$$U_e = \frac{1}{2}EI \int_e \left(\frac{d^2v}{dx^2} \right)^2 \quad (153)$$

$$\frac{dv}{dx} = \frac{2}{l_e} \frac{dv}{d\xi} \quad (154)$$

$$\frac{d^2v}{dx^2} = \frac{4}{l_e^2} \frac{d^2v}{d\xi^2} \quad (155)$$

$$v = \mathbf{H}\mathbf{q}$$

$$\frac{d^2v}{dx^2} = \mathbf{q}^T \frac{16}{l_e^4} \left(\frac{d^2\mathbf{H}}{d\xi^2} \right)^T \left(\frac{d^2\mathbf{H}}{d\xi^2} \right) \mathbf{q} \quad (156)$$

Formulación del Elemento Finito

$$\left(\frac{d^2\mathbf{H}}{d\xi^2} \right) = \left[\frac{3}{2}\xi, \frac{-1 + 3\xi}{2} \frac{l_e}{2}, -\frac{3}{2}\xi, \frac{1 + 3\xi}{2} \frac{l_e}{2} \right] \quad (157)$$

★ Integrando 153

$$U_e = \frac{1}{2} \mathbf{q}^T \mathbf{k}_e \mathbf{q} \quad (158)$$

$$k_e = \frac{EI}{l_e^3} \begin{bmatrix} 12 & 6l_e & -12 & 6l_e \\ 6l_e & 4l_e^2 & -6l_e & 2l_e^2 \\ -12 & -6l_e & 12 & -6l_e \\ 6l_e & 2l_e^2 & -6l_e & 4l_e^2 \end{bmatrix} \quad (159)$$

Vector de Carga

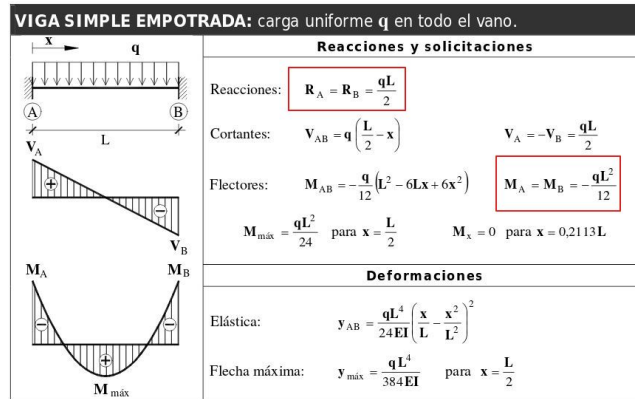
★ Considerando una carga distribuida p

$$\int_{l_e} p v dx = \left(\frac{pl_e}{2} \int_1^{-1} \mathbf{H} d\xi \right) \mathbf{q} \quad (160)$$

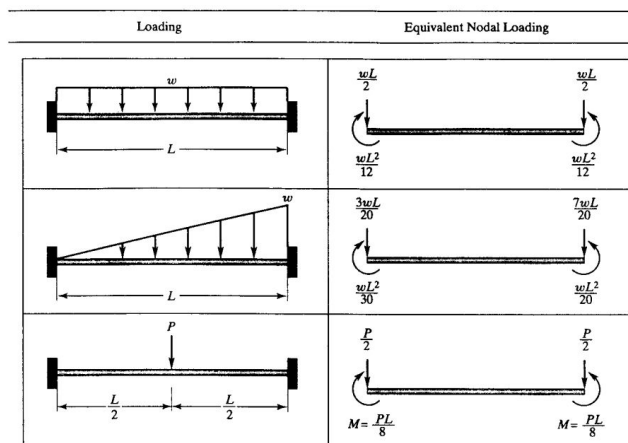
$$\int_{l_e} p v dx = \mathbf{f}_e^T \mathbf{q} \quad (161)$$

$$\mathbf{f}_e = \left[+\frac{pl_e}{2}, \frac{pl_e^2}{12}, \frac{pl_e}{2}, -\frac{pl_e^2}{12} \right] \quad (162)$$

Vector de Carga



Vector de Carga



Esfuerzos cortantes y momentos flectores Se obtiene el momento flector y el esfuerzo

cortante del elemento:

$$M = \frac{EI}{l_e^2} \frac{d^2v}{dx^2} \quad (163)$$

$$T = \frac{dM}{dx} \quad (164)$$

$$M = \frac{EI}{l_e^2} [6\xi q_1 + (3\xi - 1) l_e q_2 - 6\xi q_3 + (3\xi + 1) l_e q_4] \quad (165)$$

$$T = \frac{6EI}{l_e^3} (2q_1 + l_e q_2 - 2q_3 + l_e q_4) \quad (166)$$

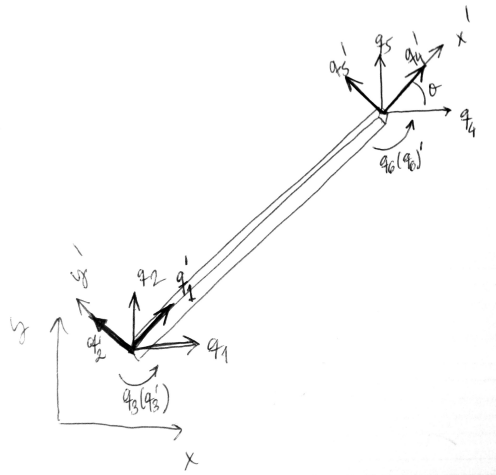
$$(167)$$

Esfuerzos cortantes y momentos flectores

★ Reacciones en los apoyos

$$\mathbf{R} = \mathbf{K} \cdot \mathbf{Q} - \mathbf{F} \quad (168)$$

Pórticos



Pórticos

★ En un sistema generalizado xy el vector de desplazamientos será $\mathbf{q} = [q_1 \ q_2 \ q_3 \ q_4 \ q_5 \ q_6]$

★ Se puede definir un sistema de referencia $x'y'$ en que x' esté alineado con el eje de la viga
 $\mathbf{q}' = [q'_1 \ q'_2 \ q'_3 \ q'_4 \ q'_5 \ q'_6]$

★ En ambos sistemas los giros serán los mismos $q_3 = q'_3$ y $q_6 = q'_6$

$$\mathbf{q}' = \mathbf{L} \mathbf{q} \quad (169)$$

Pórticos

★ En la figura se observa que en el sistema alineado $x'y'$

- ▷ los desplazamientos q'_2 , q'_3 , q'_5 y q'_6 son los mismos que en una viga alineada con el eje x
- ▷ Por su parte q'_1 y q'_4 se comportan como una barra de un sistema articulado

Pórticos

$$k'_e = \begin{matrix} \boxed{q'_1} \\ \boxed{q'_2} \\ \boxed{q'_3} \\ \boxed{q'_4} \\ \boxed{q'_5} \\ \boxed{q'_6} \end{matrix} \begin{bmatrix} \frac{EA}{l_e} & 0 & 0 & \frac{-EA}{l_e} & 0 & 0 \\ 0 & \frac{12EI}{l_e^3} & \frac{6EI}{l_e^2} & 0 & \frac{-12EI}{l_e^3} & \frac{6EI}{l_e^2} \\ 0 & \frac{6EI}{l_e^2} & \frac{4EI}{l_e} & 0 & \frac{-6EI}{l_e^2} & \frac{2EI}{l_e} \\ \frac{-EA}{l_e} & 0 & 0 & \frac{EA}{l_e} & 0 & 0 \\ 0 & \frac{-12EI}{l_e^3} & \frac{-6EI}{l_e^2} & 0 & \frac{12EI}{l_e^3} & \frac{-6EI}{l_e^2} \\ 0 & \frac{6EI}{l_e^2} & \frac{2EI}{l_e} & 0 & \frac{-6EI}{l_e^2} & \frac{4EI}{l_e} \end{bmatrix}$$

Pórticos

$$U_e = \frac{1}{2} \mathbf{q}'^T \mathbf{k}'_e \mathbf{q}' = \frac{1}{2} \mathbf{q}^T \mathbf{L}^T \mathbf{k}'_e \mathbf{L} \mathbf{q} \quad (170)$$

$$\mathbf{L} = \begin{bmatrix} l & m & 0 & 0 & 0 & 0 \\ -m & l & 0 & 0 & 0 & 0 \\ 0 & 0 & 1 & 0 & 0 & 0 \\ 0 & 0 & 0 & l & m & 0 \\ 0 & 0 & 0 & -m & l & 0 \\ 0 & 0 & 0 & 0 & 0 & 1 \end{bmatrix} \quad (171)$$

$$\mathbf{k}_e = \mathbf{L}^T \mathbf{k}'_e \mathbf{L} \quad (172)$$

Pórticos

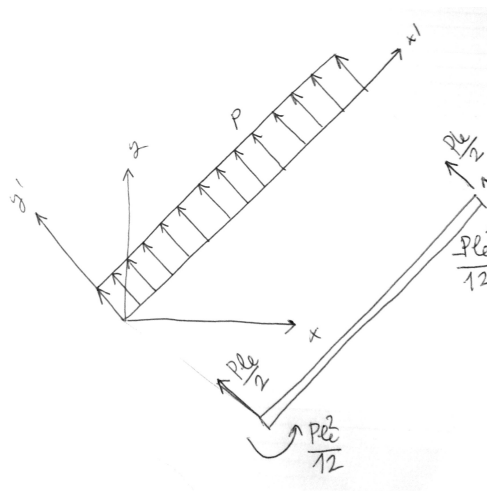
★ La carga distribuida se asigna a los desplazamientos que los pueden asumir

$$\mathbf{q}'^T \mathbf{f}' = \mathbf{q}^T \mathbf{L}^T \mathbf{f}' \quad (173)$$

$$\mathbf{f}' = \begin{bmatrix} 0 & \frac{pl_e}{2} & \frac{pl_e^2}{12} & 0 & \frac{pl_e}{2} & \frac{-pl_e^2}{12} \end{bmatrix} \quad (174)$$

$$\mathbf{f} = \mathbf{L}^T \mathbf{f}' \quad (175)$$

Pórticos



Pórticos 3D

★ Los pórticos 3D aparecen en el cálculo de estructuras, tanto para edificios como para máquinas como coches o bicicletas.

★ Cada nodo tiene 6 grados de libertad: 3 desplazamientos y 3 giros

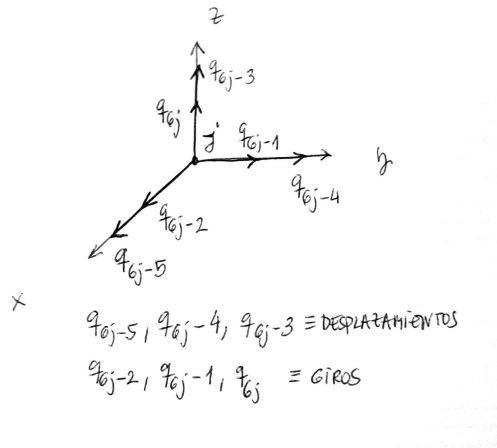
★ El vector de desplazamientos de un elemento es un vector de 12×1

★ Se tienen dos sistemas de referencia:

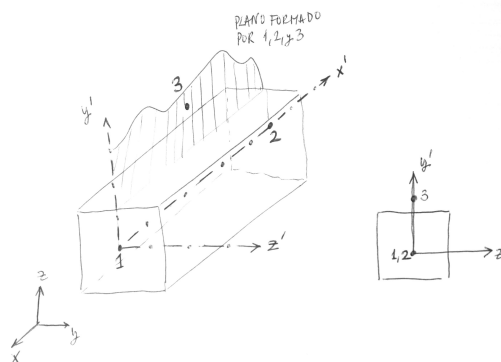
▷ Local: $x'y'z'$

▷ Global: xyz

Pórticos 3D



Pórticos 3D



Pórticos 3D

★ El proceso de determinación de los unitarios se basa en la búsqueda de una matriz de giro R , que alinea el vector $[1, 0, 0]$ con el unitario en la dirección x' .

★ El procedimiento anterior se realiza con la función unitariox10.m

Pórticos 3D

★ Los parámetros son:

▷ $A \equiv$ Área, $I_{y'} \equiv$ Momento de inercia en y' , $I_{z'} \equiv$ Momento de inercia en z' , $J \equiv$ Momento de inercia polar

▷ $E \equiv$ Módulo de Elasticidad, $G \equiv$ Módulo de Elasticidad Transversal

★ Comparando el comportamiento de los distintos grados de libertad, se obtiene la matriz

Pórticos 3D

$$\mathbf{k}' = \begin{bmatrix} AS & 0 & 0 & 0 & 0 & 0 & -AS & 0 & 0 & 0 & 0 & 0 \\ & a_{z'} & 0 & 0 & 0 & b_{z'} & 0 & -a_{z'} & 0 & 0 & 0 & b_{z'} \\ & & a_{y'} & 0 & -b_{y'} & 0 & 0 & 0 & -a_{y'} & 0 & -b_{y'} & 0 \\ & & & TS & 0 & 0 & 0 & 0 & 0 & -TS & 0 & 0 \\ & & & & c_{y'} & 0 & 0 & 0 & b_{y'} & 0 & d_{y'} & 0 \\ & & & & & c_{z'} & 0 & -b_{z'} & 0 & 0 & 0 & d_{z'} \\ & & & & & & AS & 0 & 0 & 0 & 0 & 0 \\ & & & & & & & a_{z'} & 0 & 0 & 0 & -b_{z'} \\ & & & & & & & & a_{y'} & 0 & b_{y'} & 0 \\ & & & & & & & & & TS & 0 & 0 \\ & & & & & & & & & & c_{y'} & 0 \\ & & & & & & & & & & & c_{z'} \end{bmatrix} \quad (176)$$

Pórticos 3D

$$AS = \frac{EA}{l_e} \quad (177)$$

$$TS = \frac{GJ}{l_e} \quad (178)$$

$$a_{z'} = \frac{12EI_{z'}}{l_e^3} \quad (179)$$

$$b_{z'} = \frac{6EI_{z'}}{l_e^2} \quad (180)$$

$$c_{z'} = \frac{4EI_{z'}}{l_e} \quad (181)$$

$$d_{z'} = \frac{2EI_{z'}}{l_e} \quad (182)$$

Pórticos 3D

★ La matriz de transformación del sistema local al global

$$\mathbf{q}' = \mathbf{L}\mathbf{q} \quad (183)$$

$$\mathbf{L} = \begin{bmatrix} \boldsymbol{\lambda} & 0 & 0 & 0 \\ 0 & \boldsymbol{\lambda} & 0 & 0 \\ 0 & 0 & \boldsymbol{\lambda} & 0 \\ 0 & 0 & 0 & \boldsymbol{\lambda} \end{bmatrix} \quad (184)$$

$$\boldsymbol{\lambda} = \begin{bmatrix} l_1 & m_1 & n_1 \\ l_2 & m_2 & n_2 \\ l_3 & m_3 & n_3 \end{bmatrix} = \begin{bmatrix} u'_x \\ u'_y \\ u'_z \end{bmatrix} \quad (185)$$

Pórticos 3D

★ l_1 , m_1 , y n_1 son los cosenos de los ángulos entre el eje x' local, y x global

★ l_2 , m_2 , y n_2 son los cosenos de los ángulos entre el eje y' local, y y global

★ l_3 , m_3 , y n_3 son los cosenos de los ángulos entre el eje z' local, y z global

Pórticos 3D

★ La matriz de rigidez del sistema será:

$$\mathbf{K} = {}_{24}\mathbf{L}^T \mathbf{K} \mathbf{L} \quad (186)$$

★ Si tiene cargas en el eje y' y en z'

$$\mathbf{f}' = \left[0 \quad \frac{-P_{y'} l_e}{2} \quad \frac{-P_{z'} l_e}{2} \quad 0 \quad \frac{-P_{y'} l_e^2}{12} \quad \frac{-P_{z'} l_e^2}{12} \quad 0 \quad \frac{-P_{y'} l_e}{2} \quad \frac{-P_{z'} l_e}{2} \quad 0 \quad \frac{P_{y'} l_e^2}{12} \quad \frac{P_{z'} l_e^2}{12} \right]$$

$$\mathbf{f} = \mathbf{L}^T \mathbf{f}' \quad (187)$$

Elementos Bidimensionales

★ El vector de desplazamientos viene dado por

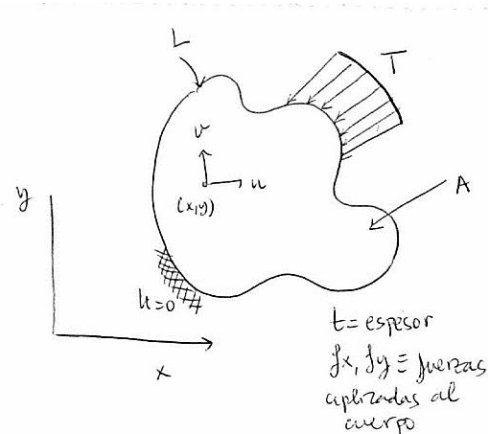
$$\mathbf{u} = [u \quad v]^T \quad (188)$$

★ Las tensiones y los desplazamientos unitarios están dados por

$$\boldsymbol{\sigma} = [\sigma_x \quad \sigma_y \quad \tau_{xy}]^T \quad (189)$$

$$\boldsymbol{\varepsilon} = [\varepsilon_x \quad \varepsilon_y \quad \gamma_{xy}]^T \quad (190)$$

Elementos Bidimensionales



Elementos Bidimensionales

★ Los esfuerzos vienen dados por

$$\mathbf{f} = [f_x \quad f_y]^T \quad (191)$$

$$\mathbf{T} = [T_x \quad T_y]^T \quad (192)$$

$$dV = t dA \quad (193)$$

Elementos Bidimensionales

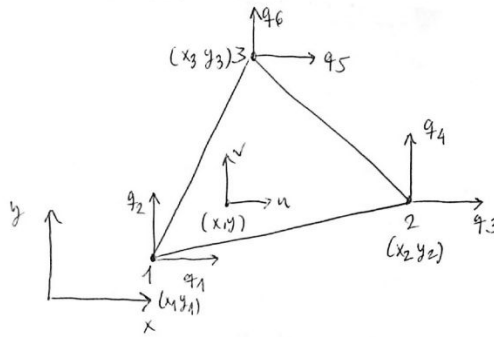
★ La relación entre el desplazamiento unitario y el desplazamiento viene dado por:

$$\boldsymbol{\varepsilon} = \left[\frac{\partial u}{\partial x} \quad \frac{\partial v}{\partial y} \quad \left(\frac{\partial u}{\partial y} + \frac{\partial v}{\partial x} \right) \right]^T \quad (194)$$

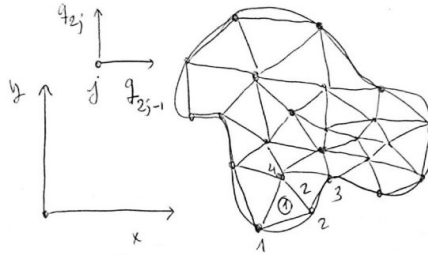
$$\boldsymbol{\sigma} = \mathbf{D} \boldsymbol{\varepsilon} \quad (195)$$

★ Donde \mathbf{D} para un estado tensional plano

Conectividad



Modelado



Modelado

- ★ Ahora 3 nodos forman un elemento
- ★ Los elementos cubren casi todo el cuerpo excepto una pequeña parte exterior
- ★ La región sin mallar se puede reducir el tamaño de los elementos

Triángulo con deformación unitaria constante

- ★ Los desplazamientos en el interior del elementos son aproximaciones, determinadas a partir de las funciones de forma
- ★ Se toman las siguientes funciones de forma

$$N_1 = \xi \quad (196)$$

$$N_2 = \eta \quad (197)$$

$$N_3 = 1 - \xi - \eta \quad (198)$$

$$1 = N_1 + N_2 + N_3 \quad (199)$$

Triángulo con deformación unitaria constante

- ★ En la aproximación Isoparamétrica los desplazamientos se toman

$$u = N_1 q_1 + N_2 q_3 + N_3 q_5 \quad (200)$$

$$v = N_1 q_2 + N_2 q_4 + N_3 q_6 \quad (201)$$

$$u = (q_1 - q_5) \xi + (q_3 - q_5) \eta + q_5 \quad (202)$$

$$v = (q_2 - q_6) \xi + (q_4 - q_6) \eta + q_6 \quad (203)$$

Triángulo con deformación unitaria constante

- ★ En forma de matriz se obtiene

$$\mathbf{N} = \begin{bmatrix} N_1 & 0 & N_2 & 0 & N_3 & 0 \\ 0 & N_1 & 0 & N_2 & 0 & N_3 \end{bmatrix} \quad (204)$$

$$\mathbf{u} = \mathbf{N}\mathbf{q} \quad (205)$$

Triángulo con deformación unitaria constante

★ Para el elemento triangular, las coordenadas x e y se pueden poner en función de las funciones de forma

★ Representación Isoparamétrica

$$x = N_1x_1 + N_2x_2 + N_3x_3 \quad (206)$$

$$y = N_1y_1 + N_2y_2 + N_3y_3 \quad (207)$$

$$x = (x_1 - x_3)\xi + (x_2 - x_3)\eta + x_3 \quad (208)$$

$$y = (y_1 - y_3)\xi + (y_2 - y_3)\eta + y_3 \quad (209)$$

$$x = x_{13}\xi + x_{23}\eta + x_3 \quad (210)$$

$$y = y_{13}\xi + y_{23}\eta + y_3 \quad (211)$$

Triángulo con deformación unitaria constante

★ Para la determinación de las deformaciones unitarias es necesario determinar las derivadas parciales y de u y v

$$u = u(x(\xi, \eta), y(\xi, \eta)) \quad (212)$$

$$v = v(x(\xi, \eta), y(\xi, \eta)) \quad (213)$$

$$\frac{\partial u}{\partial \xi} = \frac{\partial u}{\partial x} \frac{\partial x}{\partial \xi} + \frac{\partial u}{\partial y} \frac{\partial y}{\partial \xi} \quad (214)$$

$$\frac{\partial v}{\partial \eta} = \frac{\partial v}{\partial x} \frac{\partial x}{\partial \eta} + \frac{\partial v}{\partial y} \frac{\partial y}{\partial \eta} \quad (215)$$

Triángulo con deformación unitaria constante

$$\begin{Bmatrix} \frac{\partial u}{\partial \xi} \\ \frac{\partial u}{\partial \eta} \end{Bmatrix} = \begin{bmatrix} \frac{\partial x}{\partial \xi} & \frac{\partial y}{\partial \xi} \\ \frac{\partial x}{\partial \eta} & \frac{\partial y}{\partial \eta} \end{bmatrix} \begin{Bmatrix} \frac{\partial u}{\partial x} \\ \frac{\partial u}{\partial y} \end{Bmatrix} \quad (216)$$

$$\mathbf{J} = \begin{bmatrix} \frac{\partial x}{\partial \xi} & \frac{\partial y}{\partial \xi} \\ \frac{\partial x}{\partial \eta} & \frac{\partial y}{\partial \eta} \end{bmatrix} \quad (217)$$

$$\mathbf{J} = \begin{bmatrix} x_{13} & y_{13} \\ x_{23} & y_{23} \end{bmatrix} \quad (218)$$

$$\begin{Bmatrix} \frac{\partial u}{\partial x} \\ \frac{\partial u}{\partial y} \end{Bmatrix} = \frac{1}{\det \mathbf{J}} \begin{bmatrix} y_{23} & -y_{13} \\ -x_{23} & x_{13} \end{bmatrix} \begin{Bmatrix} \frac{\partial u}{\partial \xi} \\ \frac{\partial u}{\partial \eta} \end{Bmatrix} \quad (219)$$

Triángulo con deformación unitaria constante

$$\begin{Bmatrix} \frac{\partial v}{\partial x} \\ \frac{\partial v}{\partial y} \end{Bmatrix} = \frac{1}{\det \mathbf{J}} \begin{bmatrix} y_{23} & -y_{13} \\ -x_{23} & x_{13} \end{bmatrix} \begin{Bmatrix} \frac{\partial v}{\partial \xi} \\ \frac{\partial v}{\partial \eta} \end{Bmatrix} \quad (220)$$

$$\boldsymbol{\varepsilon} = \begin{Bmatrix} \frac{\partial u}{\partial x} \\ \frac{\partial v}{\partial y} \\ \frac{\partial u}{\partial y} + \frac{\partial v}{\partial x} \end{Bmatrix} \quad (221)$$

$$= \mathbf{B}\mathbf{q} \quad (222)$$

$$\mathbf{B} = \frac{1}{\det \mathbf{J}} \begin{bmatrix} y_{23} & 0 & y_{31} & 0 & y_{12} & 0 \\ 0 & x_{32} & 0 & x_{13} & 0 & x_{21} \\ x_{32} & y_{23} & x_{13} & y_{31} & x_{21} & y_{12} \end{bmatrix} \quad (223)$$

Criterio de la Energía potencial

$$\begin{aligned}\Pi &= \frac{1}{2} \int_A \boldsymbol{\varepsilon}^T \mathbf{D} \boldsymbol{\varepsilon} t dA - \int_A \mathbf{u}^T \mathbf{f} t dA - \int_L \mathbf{u}^T \mathbf{T} t dl - \sum_i \mathbf{u}_i^T \mathbf{P}_i \\ U_e &= \frac{1}{2} \int_e \boldsymbol{\varepsilon}^T \mathbf{D} \boldsymbol{\varepsilon} t dA \\ &= \frac{1}{2} \int_e \mathbf{q}^T \mathbf{B}^T \mathbf{D} \mathbf{B} \mathbf{q} t dA\end{aligned}\quad (224)$$

★ Se toman las matrices \mathbf{D} \mathbf{B} y el espesor t constante

Criterio de la Energía potencial

$$\begin{aligned}U_e &= \frac{1}{2} A_e t_e \mathbf{q}^T \mathbf{B}^T \mathbf{D} \mathbf{B} \mathbf{q} \\ &= \frac{1}{2} \mathbf{q}^T \mathbf{k}_e \mathbf{q}\end{aligned}\quad (225)$$

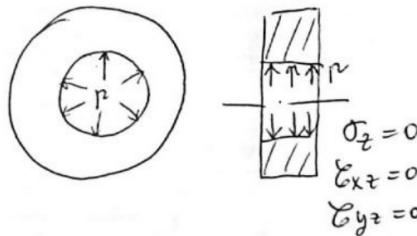
$$k_e = A_e t_e \mathbf{B}^T \mathbf{D} \mathbf{B} \quad (226)$$

Criterio de la Energía potencial

★ Donde la matriz \mathbf{D}

★ Esfuerzos planos

- ▷ Un cuerpo fino está sometido a un estado tensional
- ▷ Se toma σ_z , τ_{xz} y τ_{yz} como cero



Criterio de la Energía potencial

$$\mathbf{D} = \frac{E}{1 - \nu^2} \begin{bmatrix} 1 & \nu & 0 \\ \nu & 1 & 0 \\ 0 & 0 & \frac{1-\nu}{2} \end{bmatrix} \quad (227)$$

$$\boldsymbol{\sigma} = \mathbf{D} \boldsymbol{\varepsilon} \quad (228)$$

Criterio de la Energía potencial

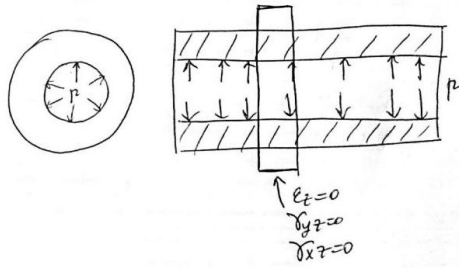
★ Deformación unitaria plana

★ A lo largo de un sólido uniforme de sección transversal constante, sujeto a una carga longitudinal

★ Una pequeña parte se puede considerar sujeta a deformación unitaria plana

★ ε_z , γ_{zx} , γ_{yz}

Criterio de la Energía potencial



$$\mathbf{D} = \frac{E}{(1+\nu)(1-2\nu)} \begin{bmatrix} 1-\nu & \nu & 0 \\ \nu & 1-\nu & 0 \\ 0 & 0 & \frac{1}{2}-\nu \end{bmatrix} \quad (229)$$

$$\boldsymbol{\sigma} = \mathbf{D}\boldsymbol{\varepsilon} \quad (230)$$

Criterio de la Energía potencial

★ Términos de fuerza: Fuerzas aplicadas en el cuerpo

$$\begin{aligned} \int_e \mathbf{u}^T \mathbf{f} t dA &= t_e \int_e (u f_x + v f_y) dA & (231) \\ &= q_1 \left(t_e f_x \int_e N_1 dA \right) + q_2 \left(t_e f_y \int_e N_1 dA \right) \\ &\quad + q_3 \left(t_e f_x \int_e N_2 dA \right) + q_4 \left(t_e f_y \int_e N_2 dA \right) \\ &\quad + q_5 \left(t_e f_x \int_e N_3 dA \right) + q_6 \left(t_e f_y \int_e N_3 dA \right) \end{aligned}$$

Criterio de la Energía potencial

$$\int N_i dA = \frac{1}{3} A_e \quad (232)$$

$$\int_e \mathbf{u}^T \mathbf{f} t dA = \mathbf{q}^T \mathbf{f}^e \quad (233)$$

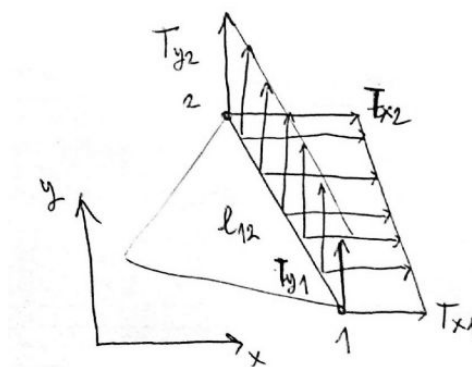
$$\mathbf{f}^e = \frac{t_e A_e}{3} [f_x \quad f_y \quad f_x \quad f_y \quad f_x \quad f_y]^T \quad (234)$$

Criterio de la Energía potencial

★ Fuerzas superficiales

▷ Se transmiten a partir de una superficie del sólido

Criterio de la Energía potencial



Criterio de la Energía potencial

$$\int_L \mathbf{u}^T \mathbf{T} t dl = \int_{l_{12}} (u T_x + v T_y) t dl \quad (235)$$

$$u = N_1 q_1 + N_2 q_3 \quad (236)$$

$$v = N_1 q_2 + N_2 q_4 \quad (237)$$

$$T_x = N_1 T_{x1} + N_2 T_{x2} \quad (238)$$

$$T_y = N_1 T_{y1} + N_2 T_{y2} \quad (239)$$

Criterio de la Energía potencial

$$\int_{l_{12}} N_1^2 dl = \frac{1}{3} l_{12} \quad (240)$$

$$\int_{l_{12}} N_2^2 dl = \frac{1}{3} l_{12} \quad (241)$$

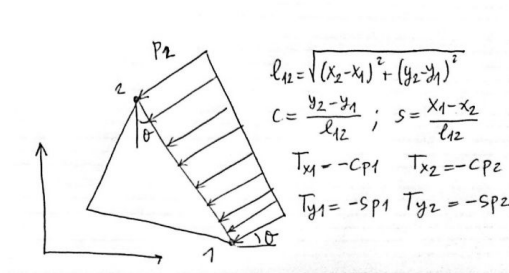
$$\int_{l_{12}} N_1 N_2 dl = \frac{1}{6} l_{12} \quad (242)$$

$$l_{12} = \sqrt{(x_2 - x_1)^2 + (y_2 - y_1)^2} \quad (243)$$

$$\int_{l_{12}} \mathbf{u}^T \mathbf{T} t dl = [q_1 \quad q_2 \quad q_3 \quad q_4] \mathbf{T}^e \quad (244)$$

$$\mathbf{T}^e = \frac{t_e l_{12}}{6} [2T_{x1} + T_{x2} \quad 2T_{y1} + T_{y2} \quad T_{x1} + 2T_{x2} \quad T_{y1} + 2T_{y2}]^T$$

Criterio de la Energía potencial



Criterio de la Energía potencial

- ★ Determinación de las tensiones en un elemento

$$\sigma = \mathbf{DB}q \quad (245)$$

Consideraciones Dinámicas. Introducción

- ★ Estática

- ▷ Las cargas se aplican lentamente.

Consideraciones Dinámicas. Introducción

- ★ Dinámica

- ▷ Las cargas se aplican súbitamente.
- ▷ Las cargas varían con el tiempo.
- ▷ El sólido se deforma elásticamente hasta que cesa la carga, volviendo a su posición inicial.
 - Tiende a vibrar cerca de su posición de equilibrio.

▷ Vibración libre

- Movimiento debido a la energía de deformación restauradora
- Las vibraciones disminuyen con el tiempo debido al amortiguamiento
- En estos modelos se ignora el amortiguamiento

Consideraciones Dinámicas. Formulación

★ Lagrangiano

- ▷ $T \equiv$ Energía Cinética.
- ▷ $\Pi \equiv$ Energía Potencial.

$$L = T - \Pi \quad (246)$$

★ Principio de Hamilton

- ▷ Para un intervalo de tiempo desde t_1 a t_2 , el estado de movimiento de un cuerpo tiene un extremo para el funcional: $I = \int_{t_1}^{t_2} L dt$

$$L = T - \Pi \quad (247)$$

Cuerpo sólido con masa distribuida

★ La energía cinética es:

$$T = \frac{1}{2} \int_v \dot{\mathbf{u}}^T \dot{\mathbf{u}} \rho \cdot dV \quad (248)$$

- ▷ $\rho \equiv$ Densidad
- ▷ $\dot{\mathbf{u}}^T = [\dot{u}, \dot{v}, \dot{w}] \equiv$ vector de velocidad en un punto x

★ En el MEF(FEM) se divide el cuerpo en elementos.

★ En cada elemento se expresa el desplazamiento \mathbf{u} en función del desplazamiento nodal \mathbf{q} usando las funciones de forma \mathbf{N}

$$\mathbf{u} = \mathbf{N}\mathbf{q} \quad (249)$$

Cuerpo sólido con masa distribuida

★ El vector velocidad está dado por:

$$\dot{\mathbf{u}} = \mathbf{N}\dot{\mathbf{q}} \quad (250)$$

★ La energía cinética del elemento estaría dada por

$$T_e = \frac{1}{2} \dot{\mathbf{q}}^T \left[\int_e \rho \mathbf{N}^T \mathbf{N} dV \right] \dot{\mathbf{q}} \quad (251)$$

★ La matriz de masa

$$\mathbf{m}_e = \int_e \rho \mathbf{N}^T \mathbf{N} dV \quad (252)$$

Cuerpo sólido con masa distribuida

★ La energía cinética total

$$T = \sum_e T_e = \sum_e \frac{1}{2} \dot{\mathbf{q}}^T \mathbf{m}_e \dot{\mathbf{q}} = \frac{1}{2} \dot{\mathbf{Q}}^T \mathbf{M} \dot{\mathbf{Q}} \quad (253)$$

★ La energía potencial estará dada por:

$$\Pi = \frac{1}{2} \mathbf{Q}^T \mathbf{K} \mathbf{Q} - \mathbf{Q}^T \mathbf{F} \quad (254)$$

★ El lagrangiano:

$$L = T - \Pi \quad (255)$$

$$\mathbf{M} \ddot{\mathbf{Q}} + \mathbf{K} \mathbf{Q} = \mathbf{F} \quad (256)$$

Cuerpo sólido con masa distribuida

★ Para vibraciones libres $\mathbf{F} = 0$

$$\mathbf{M} \ddot{\mathbf{Q}} + \mathbf{K} \mathbf{Q} = 0 \quad (257)$$

★ Se toma un desplazamiento nodal:

$$\mathbf{Q} = \mathbf{U} \sin \omega t \quad (258)$$

▷ $\mathbf{U} \equiv$ vector de las amplitudes nodales de la vibración

▷ $\omega [rad/s] \equiv$ frecuencia circular

Cuerpo sólido con masa distribuida

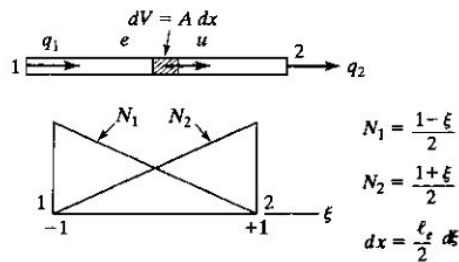
★ Sustituyen la expresión anterior

$$\mathbf{K} \mathbf{U} = \omega^2 \mathbf{M} \mathbf{U} = \lambda \mathbf{M} \mathbf{U} \quad (259)$$

▷ $\mathbf{U} \equiv$ vector propio, que representa el modo de vibración correspondiente al valor propio lambda

Matrices de Masa

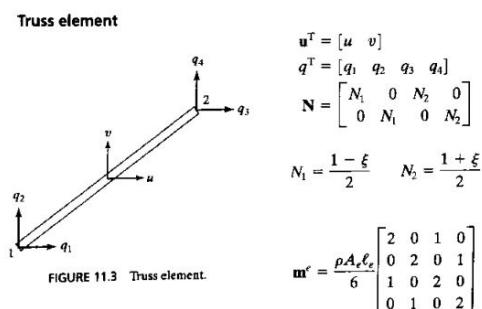
★ Elemento Barra



$$\mathbf{m}^e = \frac{\rho A_e l_e}{6} \begin{bmatrix} 2 & 1 \\ 1 & 2 \end{bmatrix}$$

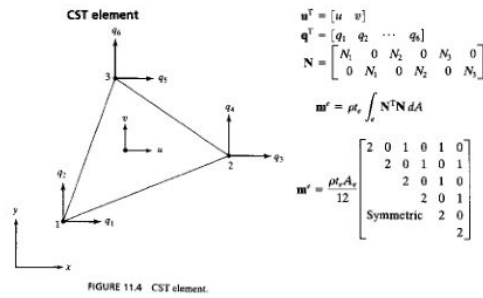
Matrices de Masa

★ Elemento Barra 2D



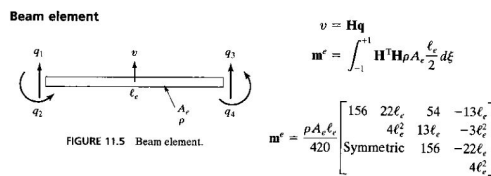
Matrices de Masa

★ Elemento Triángulo



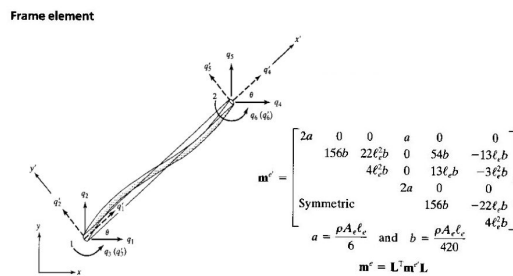
Matrices de Masa

★ Elemento viga



Matrices de Masa

★ Elemento viga



Determinación de la solución

★ Se eliminan las filas y las columnas, \mathbf{K} y \mathbf{M} , relacionadas con los desplazamientos en los apoyos.

- ▷ elimina=[a, b, c]
- ▷ $\mathbf{K}[\text{elimina}, :] = []$
- ▷ $\mathbf{K}[:, \text{elimina}] = []$

★ Se utiliza el polinomio característico

- ▷ $[\mathbf{V}, \mathbf{D}] = \text{eig}(\mathbf{K}, \mathbf{M})$
- ▷ \mathbf{V} Matriz de autovectores
- ▷ \mathbf{D} Matriz de Diagonal, autovalores λ

Determinación de la solución

★ Usando la Factorización de Cholesky

- ▷ \mathbf{M} una matriz simétrica definida positiva puede ser descompuesta como el producto de una matriz triangular inferior y la traspuesta de la matriz triangular inferior

$$\mathbf{M} = \mathbf{L}\mathbf{L}^T \quad (260)$$

$$\mathbf{K}\mathbf{x} = \lambda\mathbf{M}\mathbf{x} \quad (261)$$

$$\mathbf{L}^{-1}\mathbf{K}\mathbf{L}^{-T}\mathbf{L}^T\mathbf{x} = \lambda\mathbf{L}^T\mathbf{x} \quad (262)$$

$$(263)$$

Referencias

- [1] CHANDRUPATLA, TIRUPATHI R.: *Introduccion al estudio del elemento finito en ingenieria*, 1999.